

06.1; 06.2

© 1990

ПРЯМАЯ ВАХ ДИОДОВ, ПОЛУЧЕННЫХ МЕТОДОМ ПРЯМОГО СРАЩИВАНИЯ КРЕМНИЕВЫХ ПЛАСТИН (ПСК)

В.М. В о л л е, В.Б. В о р о н к о в,
И.В. Г р е х о в, В.А. К о з л о в

Сравнительно недавно в [1-5] сообщалось о разработке принципиально нового метода формирования кремниевых структур для полупроводниковой электроники - метода прямого сращивания кремниевых пластин (ПСК).¹ К настоящему времени по этой проблеме опубликовано немного более десятка работ, посвященных в основном технологическим аспектам проблемы и исследованию физических свойств интерфейса между пластинами одинакового типа проводимости.

В [4-6] сообщалось также о возможности создания р-п-переходов методом ПСК, но подробного исследования их электрических характеристик не проводилось. В первой (насколько нам известно) работе по ПСК, опубликованной в отечественной литературе [7], было показано, что этим методом можно изготовить высоковольтные р-п-переходы с хорошими блокирующими характеристиками, однако прямые ВАХ исследованных в этой работе структур были существенно хуже ВАХ диодов, получаемых обычными методами.

В настоящей работе показано, что при определенных условиях изготовления прямая ВАХ ПСК-диодов может быть не хуже, чем у диодов, полученных обычными диффузионными методами.

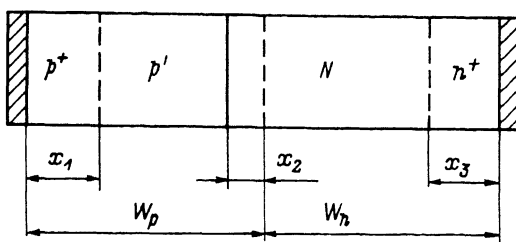
Диоды изготавливались путем сращивания промышленных полированных пластин бестигельного п-кремния марки БКЭФ ориентации (III) с $\rho_N \sim 200$ Ом·см и р-кремния марки КДБ ориентации (III) с $\rho_P = 0.005$ Ом·см, выращенного методом Чохральского; диаметр пластин составлял 60 мм, а толщина 450 и 380 мкм. соответственно. Качество полировки соответствовало обычным стандартам микроэлектроники. Перед сращиванием пластины проходили аммиачно-перекисную и кислотную отмыку с промежуточными промывками в деионизированной воде, а затем проводилась гидрофилизация в подогретом до $T \sim 60$ °C растворе $H_2O + H_2O_2 + NH_4OH$ и финишная отмыка в H_2O с последующей сушкой на центрифуге в беспылевой атмосфере. После этих обработок пластины п- и р-кремния складывались попарно полированными поверхностями, что приводило к их плотному соединению по механизму, описанному в [1-5]. Затем пластины в горизонтальном положении проходили термообработку

¹ В зарубежной литературе он был назван *Selicon to silicon Direct Bonding (SDB) method*.

a

интерфейс

р-п переход

*б*

р-п переход

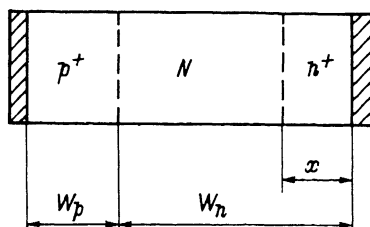


Рис. 1. а - конструкция ПСК-диода: $W_p \approx 395$ мкм, $\rho \approx 2 \cdot 10^{19}$ см $^{-3}$ ($\rho_p \approx 5 \cdot 10^{-3}$ Ом·см); $W_n \approx 435$ мкм, $N = 2.5 \cdot 10^{13}$ см $^{-3}$ ($\rho_N \approx 200$ Ом·см); глубина р⁺-и п⁺-диффузионного слоя $x_1, x_3 \approx 14$ мкм, поверхностная концентрация $p_s^+ \approx n_s^+ \approx 3 \cdot 10^{20}$ см $^{-3}$; смещение р-п-перехода от интерфейса $x_2 \approx 16$ мкм, время жизни дырок $\tau_p = 15-20$ мкс. б - конструкция диффузионного диода: $W_p \approx 50$ мкм, поверхностная концентрация $P_s^+ \approx 3 \cdot 10^{20}$ см $^{-3}$; $W_n \approx 440$ мкм, $N = 2.5 \cdot 10^{13}$ см $^{-3}$ ($\rho_N \approx 200$ Ом·см); глубина п⁺-слоя $x = 15$ мкм, поверхностная концентрация $n_s^+ \approx 3 \cdot 10^{20}$ см $^{-3}$, $\tau_p = 15-20$ мкс.

при 1100 °C в течение трех часов на воздухе. После этого кратковременной диффузией бора и фосфора из силикатных стекол при 1200 °C на глубину ~14 мкм создавались р⁺-и п⁺-слои с концентрацией ~10²⁰ см $^{-3}$ с р- и п-стороны, соответственно. После изготовления контактов образцы разрезались на квадраты 15x15мм; краевой контур обычным образом обрабатывался и пассивировался.

Конструкция ПСК-диодов и обычных диодов, изготовленных для сравнения методом диффузии из силикатных стекол, показана на рис. 1, а, б.

Исследование косых шлифов ПСК-диодов показало, что сращивание, как правило, происходит однородно по площади прибора. Р-п-переход после операции сращивания оказался сдвинутым от интерфейса в N-базу на глубину ~2.2 мкм, а после образования р⁺-и п⁺-слоев - на ~16 мкм; граница перехода была ровной даже при наличии небольших несращенных участков на интерфейсе.

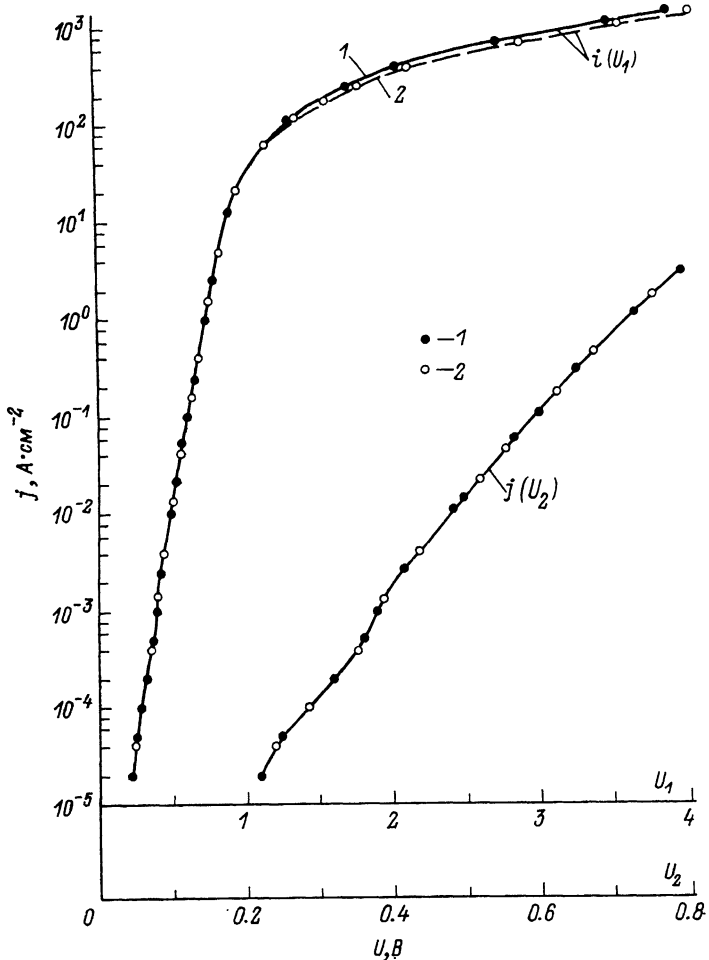


Рис. 2. Прямые ВАХ ПСК- и диффузионного диодов: 1 – ПСК-диод, 2 – диффузионный диод.

Прямые ВАХ диодов представлены на рис. 2. Измерения проводились при комнатной температуре на постоянном токе при $j < 1 \text{ A}/\text{cm}^2$ и в импульсном режиме ($t_n \sim 10^{-3} \text{ с}$) при $j > 1 \text{ A}/\text{cm}^2$. Как видно из представленных данных, ВАХ диодов обоих типов практически полностью идентичны. В диапазоне $10^{-5} < j < 10^{-1} \text{ A}/\text{cm}^2$ они хорошо описываются зависимостью $j \sim \exp(qU/mkT)$, где $m = 2$ при $4 \cdot 10^{-5} < j < 4 \cdot 10^{-4} \text{ A}/\text{cm}^2$ (рекомбинационный участок), $m \sim 1.5$ при $4 \cdot 10^{-4} < j < 2 \cdot 10^{-3} \text{ A}/\text{cm}^2$ (начало инжекции) и $m = 2$ при $3 \cdot 10^{-3} < j < 10^{-1} \text{ A}/\text{cm}^2$ (высокий уровень инжекции в N -базе). При $j > 10^{-1} \text{ A}/\text{cm}^2$ происходит хорошо известная линеаризация ВАХ, определяемая рядом нелинейных эффектов, возникающих при большой концентрации электронно-дырочной плазмы

в N -базе: электронно-дырочным рассеиванием, падением коэффициента инжекции р-п-переходов и, при очень больших J , Оже-рекомбинаций.

Идентичность ВАХ диффузионных и ПСК-диодов свидетельствует о том, что потенциальный барьер на ПСК-интерфейсе пренебрежимо мал в сравнении с барьером на р-п-переходе и практически не оказывает влияния на прохождение носителей через интерфейс. Это принципиально отличает исследованные диоды от описанных в [7], где барьерные свойства интерфейса существенно ухудшали прямые ВАХ. Достигнутое в настоящей работе улучшение „прозрачности“ интерфейса для носителей заряда обусловлено, вероятно, устраниением образования переходного аморфного слоя окисла между кристаллами (за счет изменения условий подготовки поверхностей перед сращиванием), а также за счет использования дополнительного термического отжига при формировании р⁺ и п⁺-слоев, снижающего плотность поверхностного заряда и высоту потенциального барьера на интерфейсе [6].

Обратные ВАХ ПСК-диодов имели вид, обычный для кремниевых высоковольтных р-п-переходов. При этом токи утечки диффузионных и ПСК-структур были примерно равными и не превышали 10^{-2} А при обратном смещении 3.5 кВ и $T = 125$ °C.

Список литературы

- [1] Lasky J.B., Stiffler S.R., White F.R., Abernathy J.R. // Intern. El. Dev. Meeting, Washington, DC, 1985 (IEEE, New-York, 1985). 684 p.
- [2] Lasky J.B. // Appl. Phys. Lett. 1986. V. 48(1). P. 78.
- [3] Ohashi H., Ohura J., Tsukakoshi T., Shimbo M. // Intern. El. Dev. Meeting, Los Angeles, 1986 (IEEE, New-York, 1986). 210 p.
- [4] Shimbo M., Furukawa K., Fukuda K., Tanzawa K. // J. Appl. Phys. 1986. V. 60. N 8. P. 2987.
- [5] Furukawa K., Shimbo M., Fukuda K., Tanzawa K. Extended Abstract of the 18-th Intern. Conf. on Solid State Devices and Materials, Tokyo, 1986. 533 p.
- [6] Bengtsson S., Engström O. // Journ. Appl. Phys. 1989. V. 66. N. 3. P. 1231.
- [7] Волле В.М., Воронков В.Б., Греков И.В., Козлов В.А. // Письма в ЖТФ. 1989. Т. 15. В. 18. С. 59.

Поступило в Редакцию
22 марта 1990 г.